بسم الله الرحمن الرحيم

Sudan University of Science & Technology College of Graduate Studies and Scientific Researches

Ulltrasound findings in Sudanese patients with Visceral Leishmaniasis in Omdurman Tropical Diseases Teaching Hospital (March- August 2011)

نتائج الفحص بالموجات فوق الصوتية لمرضى الليشمانيا الحشوية السودانيين بمستشفى ام درمان التعليمي لأمراض المناطق الحارة في الفترة من مارس إلى أغسطس 2011م

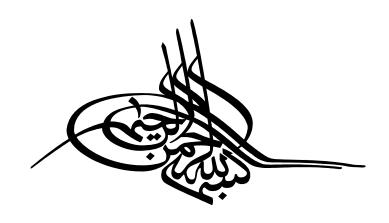
A thesis submitted in partial fulfillment for the requirements of the Degree of MSc. in Medical Ultrasound

<u>By</u>

Adam Mohammed Fadl Ahmed

Supervisor

Dr. Alsafi Ahmed Abdallah Assistant Professor



قال تعالي:

}َ قَالُواْ سُبْجَانَكَ لاَ عِلْمَ لَنَا إِلاَّ مَا عَلَّمْتَنَا إِنَّكَ أَنتَ الْعَلِيمُ الْحَكِيمُ}

صدق الله العظيم

سورةالبقرة

الآية (32)

Dedication

To the soul of my parents.

To my family,

brothers, sisters

and

friends.

Acknowledgement

I am very much indebted to my supervisor Dr. Alsafi Ahmed Abdallah, Sonologist, Dean Faculty of Science, Sudan University, for his appreciable help in choosing this topic, his invaluable help and co-operation in this study, I'm obliged to admit that without his inside and experience this work have not seen light.

I would to thank Dr. Abdel Moniem Adam,
Consultant of Ultrasound Physics, Dr.
Mohammed Elfadil (Statistician), Dr.
Hago Gebril, and Dr. Mohammed Hassan,
Sonologits, for their appreciable help.

My thanks extend to my colleagues, authorities and patients in Omdurman Tropical Disease Teaching Hospital, who permit me to do my study.

LIST OF FIGURES

	Page No.
Figure 2-1: shows posteroanterior view of the liver	9
Figure 2-2: shows anterior view and superior view of the liver	10
Figure 2-3: shows hepatic veins, porta hepatice, liver and kidney	18
Figure 2-4: shows anteromedial view with spleen reflected to right	21
Figure 2-5: Ultrasound of spleen	24
Figure 2-6: Ultrasound of pancreas	27
Figure 2-7: Ultrasound anatomy of the kidneys	30
Figure 2-8: Ultrasound (A, B) aorta, inferior vena cava and hepatic	
veins	34
Figure 2-9: Ultrasound anatomy of lymph nodes	38
Figure 2-10: Peritoneal cavity anterior view	39
Figure 2-11: Peritoneal cavity lateral view	40
Figure 2-12: Ultrasound shows ascites	44
Figure 2-13: Anatomy of the pleural cavity	47
Figure 2-14: Ultrasound shows pleura effusion	49
Figure 2-15: An illustration showing Leishmania life cycle,	55
Figure 2-16: Hepatosplenomegally and ascites	65
Figure 2-17: Hepatosplenomegally and ascites and LD bodies	65
Figure 2-18: Ultrasound-guided aspiration showing the tip of the	

Needle (arrowhead) inside lymphatic nodule (arrow). Figure 4-1: Distribution of 50 Sudanese patients with visceral	68
leishmaniasis undergone ultrasound according to gender	
in Omdurman Tropical Diseases Teaching Hospital	
(March – August 2011) Figure 4-2: Distribution of 50 Sudanese patients with visceral	74
leishmaniasis undergone ultrasound according spleen	
size in Omdurman Tropical Diseases Hospital (March	
August 2011)Figure 4-3: Distribution of 50 Sudanese patients with visceral	78
leishmaniasis undergone ultrasound according liver size	
in Omdurman Tropical Diseases Teaching Hospital	
(March – August 2011) Figure 4-4: Distribution of 50 Sudanese patients with visceral	79
leishmaniasis undergone ultrasound according lymph	
node size in Omdurman Tropical Diseases Teaching	
Hospital (March – August 2011)	80

LIST OF TABLES

Table 1:	Distribution of 50 Sudanese patients with visceral	
	leishmaniasis undergone ultrasound according to	
	age in Omdurman Tropical Diseases Teaching	
Table 2:	Hospital (March - August 2011) Distribution of 50 Sudanese patients with visceral	75
	leishmaniasis undergone ultrasound according to	
	geographic area in Omdurman Tropical Diseases	
Table 3:	Teaching Hospital (March – August 2011) Distribution of 50 Sudanese patients with visceral	75
	leishmaniasis undergone ultrasound according to	
	duration of the disease in Omdurman Tropical	
Table 4:	Diseases Teaching Hospital (March – August 2011) Distribution of 50 Sudanese patients with visceral	76
	leishmaniasis undergone ultrasound according to	
	ultrasound findings in Omdurman Tropical Diseases	
	Teaching Hospital (March – August 2011)	77

ABBREVIATIONS

AS AIDS CL CT DCL	Ascites Acquired immunodeficiency Syndrome Cutaenous leishmaniasis Computerized tomography Diffuse Cutaenous leishmaniasis
ESR	Erythrocyte Sedimentation Rate
HIV	Human Immunodeficiency Virus
HM	Hepatomegaly
IVC	Inferior vena cava
KD	Kidneys
LAD	Lymph adenopathy
LD	Leishman donavani
LFT	Liver function test
MCL	Muco- Cutaenous leishmaniasis
MRI	Magnetic Resonance Imaging
PC PCR	Pancreas
PE	Polymerase chain reaction Pleural effusion
PKDL	Post-Kala-zar Dermal Leishmaniasis
PV	Portal vein
SM	Splenomegally
SMA	Superior mesenteric artery
SPSS	Statistical Package for Social Sciences
US	Ultrasound
VL	Visceral leishmaniasis
V L	visceral leistillianiasis

List of contents

		Page No.
Dedication		I
Acknowledgement		II
List of Figures		III
	List of Tables	V
Abbreviations		VI
	List of contents	VII
Abstract Arabic		X
Abstract English		XII

CHAPTER ONE

1.1. INTRODUCTION	1
1.2. JUSTIFICATION	4
1.3. OBJECTIVES	4
1.4. THESIS OVERVIEW	5
CHAPTER TWO	
2. LITERATURE REVIEW	6
2.1. Surface anatomy of the abdomen:	6
2.1. A. Liver	5
2.1. B) Spleen	19
2.1. C) Pancreas	25
2.1. D) Kidneys	27
2.1. E) Inferior vena cava and aorta	31
2.1. F) Lymph nodes	35
2.1. G) The peritoneum	38
2.2. The pleura	44
2.3. Pathology of the viscera visceral leishmaniasis	50
2.3.1. History of Visceral Leishmaniasis	50
2.3.2. Distribution visceral leishmaniasis	50
2.3.3. Life cycle of visceral leishmaniasis in human	53
2.3.4. Patho- clinical features of leishmaniasis	56
2.3.5. Symptoms and signs of visceral leishmaniasis	60
2.3.6. Differential diagnosis of VL	66
2.3.7. Diagnosis of visceral leishmaniasis	66
2.3.8. Treatment of visceral leishmaniasis:	70
2.3.9. Prevention and control of visceral leishmaniasis:	70
CHAPTER THREE	
3. MATERIALS AND METHODS	71
CHAPTER FOUR	
4. RESULTS	74
CHAPTER FIVE	
5.1. DISCUSSION	81
5.2. CONCLUSION	85
5.3. RECOMMENDATIONS	86
REFERENCES	87
Appendices (A): - Questionnaire	91
- Data collection sheet	
- Ultrasound measurements	
(B): Ultrasound findings	

ملخص الأطروحة

مقدمة: ظل داء اللشمانيا الحشوية يشكل عبء صحياً كبيراً على المرضى والشئون الصحية بالسودان. تأخر تشحيص المرض دائماً ما يقود إلى مضاعفات خطيرة قد تؤدى إلى الوفاة. ويمكن اكتشاف هذه المضاعفات بالفحص بواسطة الموجات فوق الصوتية مبكراً قبل أن تؤدى إلى تلف الكبد والطوحال والغدد الليمفاوية ونخاع العظم وبالتالى استعمال العلاج مبكراً لمنع الوفاة.

الأهداف: دراسة علامات ومضاعفات الليشمانيا الحشوية بواسطة الموجات فوق الصوتية لدى المرضى السودانيين بمستشفى المناطق الحارة بامدرمان في الفترة من مارس إلى أغسطس 2011م.

منهجية البحث: هذه دراسة مقطعية وصفية مستقبلية، اجريت على 50 مريض سوداني مصاب بداء الليشمانيا الحشوية، حضروا إلى قسم الموجات فوق الصوتية بمستشفى المناطق الحارة بامدرمان، تم جمع اليانات من المرضى باستخدام استبيان اعد لهذا الغرض يحثوى على البيانات الشخصية والتاريخ المرضى ونتائج الفحص بالموجات فوق الصوتية للبطن البلورا. ثم تم تحليل البيانات بواسطة الكمبيوتر باستخدام برنامج التحليل الإحصائي.

النتائج: أوضحت نتائج الموجات فوق الصوتية في الفئة العمرية 15-30 سنة 20 مريض (40%)، الفئة اكـثر عربض (36%)، الفئة اكـثر من 45 سنة 7 مرضى (14%)، الفئة اقل من 15 سنة 5 مرضى (10%). نتائج الموجات فوق الصوتية في الـذكور 38 (76%)، والإنـاث 12 (24%) نسبة الذكور إلى الإناث 3.6 : 1 ، حسب التوزيع الجغرافي كالآتي: الولايات الشرقية 27 مريض (54%)، الولايات الوسطى 13 مريض (26%)، الولايات

الجنوبية 5 مرضى (10%)، الولايات الشمالية 2 مرضى (4%)، الولايات الغربية 2 مرضى (4%)، ولاية الخرطوم 1 مريض (2%). اوضحت الموجات الصوتية أن فترة المرض أقل من 4 اسابيع 5 حالات (10%)، 4 - 8 اسابيع 20 حالـة (40%)، وأكـثر مـن 8 اسـابيع 25 حالـة (50%). نتائـج القحـص بالموجات فوق الصوتية طبيعية في 3 حالات (6%)، تضخم الطحال لدى 47 حالة (94%)، تضخم الكبد في 43 حالة (86%)، تضخم الغدد الليمفاوية 45 (90%)، الإستسقاء 12 (24%)، الإنسكاب البلوري 8 (16%)، اتساع الوريد البوابي 5 (10%)، الوريد الأجوف السفلي 4 (8%) و زيادة صدى الموجات فوق الصوتية في الكليتين 2 (4%)، ونقصان صدى الموجات فـوق الصـوتية في البنكرياس 1 (2%). عند قياس الاحجام بالموجات فوق الصوتية أوضحت النتائج: الطحال طبيعي الحجـم فـي 3 مرضـي (6%)، تضـخم بسـيط 5 (10%)، تضخم متوسط 10 (20%) تضخم شـديد 32 (64%). فـي الكبـد: طبیعی الحجم فـی 7 مرضـی (14%)، تضـخم بسـیط 8 (16%)، تضـخم متوسط 10 (20%) تضخم شديد 25 (50%). في الغدد الليمفاوية: طبيعي الحجم في 5 مرضي (10%)، تضخم بسيط ۚ 5 (10%)، تضخم متوسط 10 (20%) تضخم شدید 30 (60%).

الخلاصة: خلصت الدراسة بأن نتائج فحوصات الموجات فوق الصوتية أكثر شيوعاً في الشباب من الذكور في الولايات الشرقية والوسطى والــذين يعانون من الإصابة بالمرض لمدة طويلة. واكثر النتائج شيوعاً تضخم الطحال والكبد والغدد الليمفاوية، وأقلها شيوعاً الإستسقاء والإنسكاب البلـوري، واتساع الوريد البوابي والوريد الأجوف الأسـفل، وأن زيـادة صـدى الموجـات فـوق الصـوتية فـي فـوق الصـوتية فـي الكليـتين ونقصـان صـدى الموجـات فـوق الصـوتية فـي البنكرياس هى اكـثر نـدرة. كمـا وخلصـت الدراسـة إلـى أن الموجـات فـوق الصوتية إلى الموتية لها المقدرة على إظهار علامات ومضاعفات الليشمانيا الحشوية إلى جانب الفحوصات المختبريـة الآخـرى بالإضـافة إلـى مقـدرتها علـى تشـخيص مرض الليمانيا الحشوية وتفريقها من الأمراض المشابهة لها.

ABSTRACT

Background: Visceral leishmaniasis or Kalazar has been a major health burden on the Sudanese patients and to the health authority in Sudan. Delay in diagnosis of VL lead to serious complications and eventually death. By use of ultrasound these complication can be diagnosed early and treating them before damaging the spleen, liver, lymph nodes and bone marrow and death to occur.

Objectives: to study ultrasound findings (signs and complications) of VL in Sudanese patients in Omdurman Tropical Diseases Teaching Hospital in the period from March to August 2011.

Methodology: This is descriptive prospective cross-sectional hospital-based study of 50 Sudanese patients with VL, attended Ultrasound Department. The data collected by using data collection sheet, which included personal data, duration of

the disease and ultrasound findings of abdominal examination. The data arranged in the master sheet, entered computer and analyzed by Excel Program.

Results: Ultrasound findings were most common in the age group 15 - 30 years in 20 patients (40%) and age group 31 -45 years 18 (36.0%), less common in age group >45 (14%) and <15 years (10%). Ultrasound findings were most common in males (76%) than females (24%) (with ratio 3.6 : 1). Distribution of patients according to the regions as follow: eastern states were 27 (54.0%), central states were 13 (26.0%), southern states were 5 (10%), northern states were 2 (4%), western states were 2 (4%), and from Khartoum State 1 patient (2%). Ultrasound findings according to the duration of illness, < 4 weeks 5 patients (10%), 4-8 weeks 20 patients (40%) and >8 weeks 25 patients (50%). Ultrasound findings among the study patients with VL include splenomegally 47 (94%), hepatomegally 43 patients (86%), lymph adenopathy 45 patients (90%), ascites 12 patients (24%), pleural effusion 8 patients (16%), portal vein dilatation 5 patients (10%), inferior vena cava dilatation 4 patients (8%), increased echogenicity of the kidneys 2 patients (4%) and decreased echogenicity of pancreas 1 patients (2%). The spleen size by ultrasound, normal size 3 (6%), mild splenomegally 5 (10%), moderate 10 patients (20%), marked splenomegally 32 patients (64%). The size of the liver by ultrasound, normal size 7 (14%),mild hepatomegaly 8 (16%), patients moderate hepatomegaly 10 (20%) and marked hepatomegally 25 (50%). The lymph node size by ultrasound, normal size 5 (10%), mild

lymph adenopathy 5 (10%), moderate 10 (20%) and marked lymph adenopathy 30 (60%).

Conclusion: Ultrasound findings were most common in young males from east and central states with prolong disease duration. Splenomegally, hepatomegally, lymph adnopathy were the most common ultrasound findings. Ascites and plural effusion, dilatation of the portal vein and inferior vena cava were less common, while the increased echogenicity of the kidneys and decreased echogenicity pancreas were very rare ultrasound findings. Thus ultrasound has capability of diagnosis of VL and differentiated it from mimicking conditions in combination with other laboratory tests.